

1 Auswertung

1.1 Überprüfung der Bragg Bedingung

Der fest eingestellte Kristallwinkel liegt bei

$$\theta = 14^\circ$$

In Abbildung 1 sind die gemessenen Werte aufgetragen. Aus diesen Werten ergibt sich

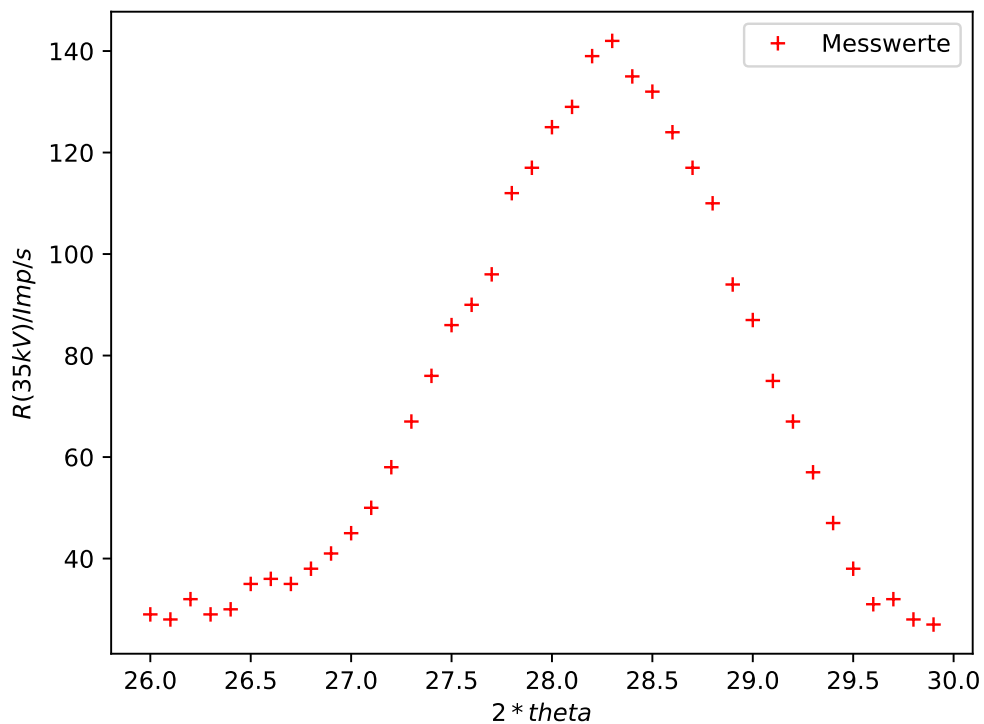


Abbildung 1: Die Intensität der Röntgenstrahlen

das Maximum bei

$$\theta = 14,15^\circ \quad (1)$$

Der Winkel weicht um $\Delta\theta = 0,15^\circ$ ab, sodass die Bragg Bedingung erfüllt ist. Das entspricht einer prozentualen Abweichung zum Sollwinkel von 1,07%.

1.2 Das Emissionsspektrum einer Cu-Röntgenröhre

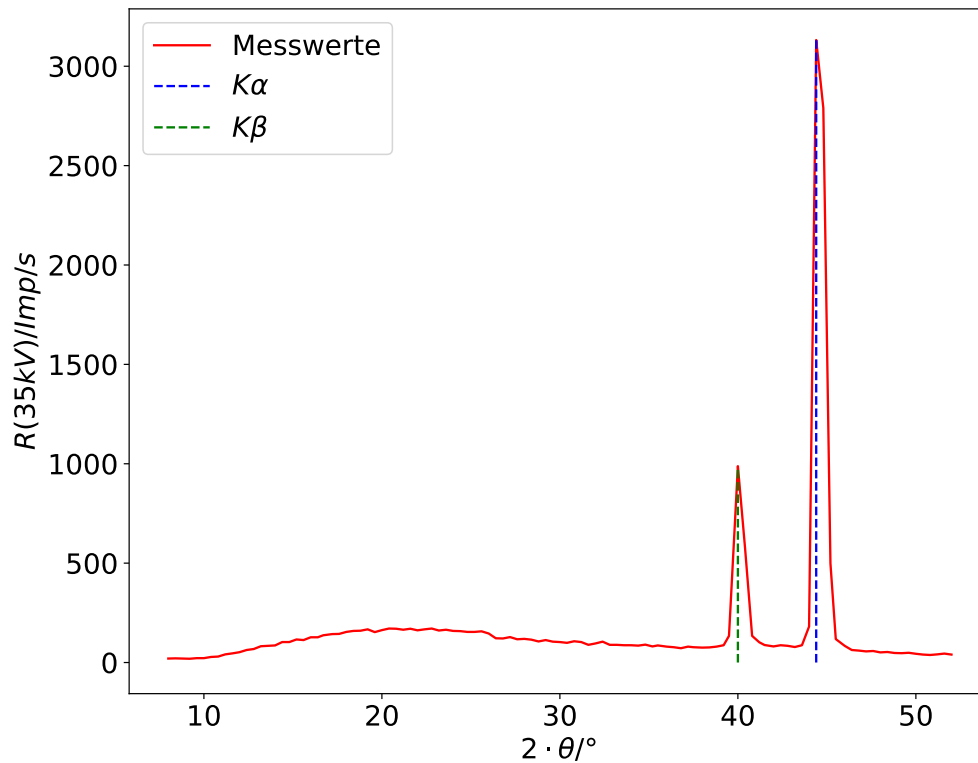


Abbildung 2: Röntgenspektrum der Cu-Röntgenröhre

Der Grenzwinkel wird aus den Messwerten entnommen und beträgt $\theta = 5^\circ$. Daraus ergibt sich mit Formel (??)

$$\lambda_{min} = 35,106 \text{ pm}$$

Mit Formel (??) ergibt sich die Maximale Energie zu

$$E_{max} = 35,317 \text{ keV}$$

Die Energie hat somit eine prozentuale Abweichung von 0,91% zum theoretischen Wert von 35 keV

$$\theta_{K_\alpha} = 22,2^\circ \quad (2)$$

$$\theta_{K_\beta} = 20^\circ \quad (3)$$

Die bestimmten Wellenlängen und Energien werden mit den Formeln (??) und

$$E = h \cdot \frac{c}{\lambda} \quad (4)$$

bestimmt.

$$\begin{array}{ll} \lambda_{K_\alpha} = 152,194 \text{ pm} & \lambda_{K_\beta} = 137,766 \text{ pm} \\ E_{K_\alpha, \text{berechnet}} = 8,146 \text{ keV} & E_{K_\beta, \text{berechnet}} = 8,999 \text{ keV} \\ E_{K_\alpha, \text{theoretisch}} = 8,048 \text{ keV} & E_{K_\beta, \text{theoretisch}} = 8,906 \text{ keV} \end{array}$$

Die theoretisch zu erwartenden Werte wurden [wert] entnommen. Die prozentualen Abweichungen ergeben sich zu

$$\Delta E_{K_\alpha} = 1,22\% \quad (5)$$

$$\Delta E_{K_\beta} = 1,04\% \quad (6)$$

Die Abschirmkonstante σ_K berechnet sich nun mit der Formel

$$\begin{aligned} \sigma_K &= Z - \sqrt{\frac{-4 \cdot (E_{K_\alpha} - E_{K_\beta})}{R_\infty}} \\ \sigma_K &= 13,161 \end{aligned}$$

Z ist die Ordnungszahl von Kupfer und hat einen Wert von 29.[Z] R_∞ ist die Rydbergenergie mit einem Wert von 23,6 eV.[Anleitung]

1.3 Das Absorptionsspektrum

Die K-Kanten von Brom, Strontium und Zirkonium werden aus den Messwerten entnommen, bzw. aus den Abbildungen 3, 4 und 5 entnommen.

$$\begin{aligned} \theta_{\text{Brom}} &= 13,05^\circ \\ \theta_{\text{Strontium}} &= 10,85^\circ \\ \theta_{\text{Zirkonium}} &= 10^\circ \end{aligned}$$

Mit den Formeln ?? und 4 werden zunächst die einzelnen Wellenlängen und dann die Energien bestimmt. Diese sind in Tabelle 1 aufgelistet.

Die Abschirmkonstante σ_K berechnet sich mit Hilfe der Formel (??). Dafür wird der Zusammenhang

$$z_{\text{eff}} = z - \sigma$$

Tabelle 1: Wellenlängen und Energien

	Wellenlänge / pm	Energie/ keV
Brom	90,95	13,632
Strontium	75,82	16,352
Zirkonium	69,95	17,724

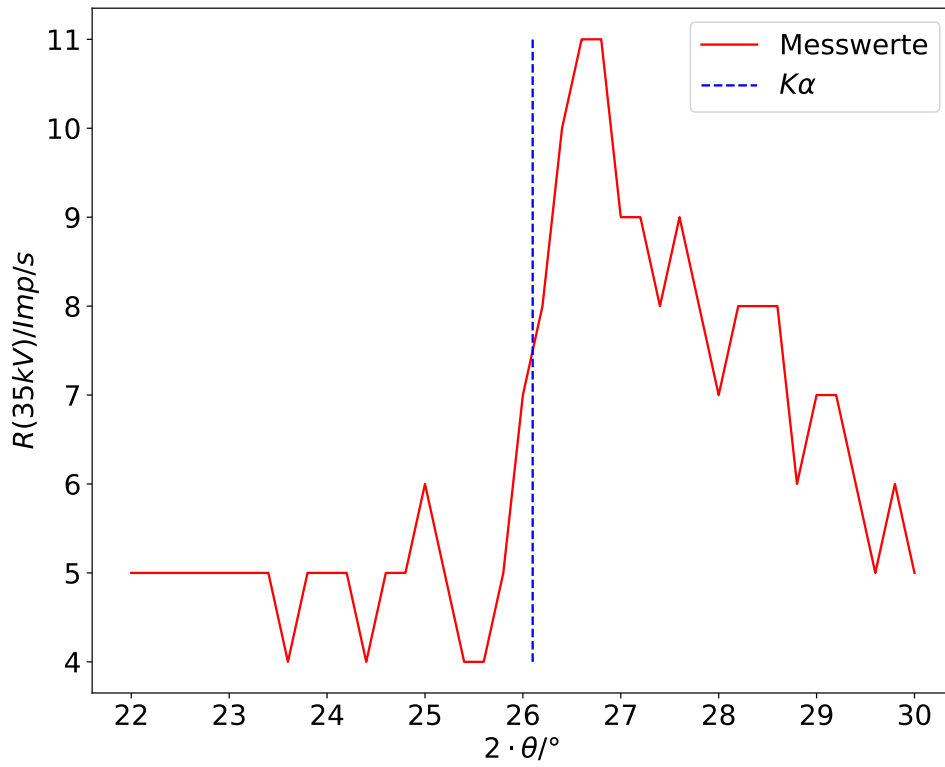


Abbildung 3: Absorptionsspektrum von Brom

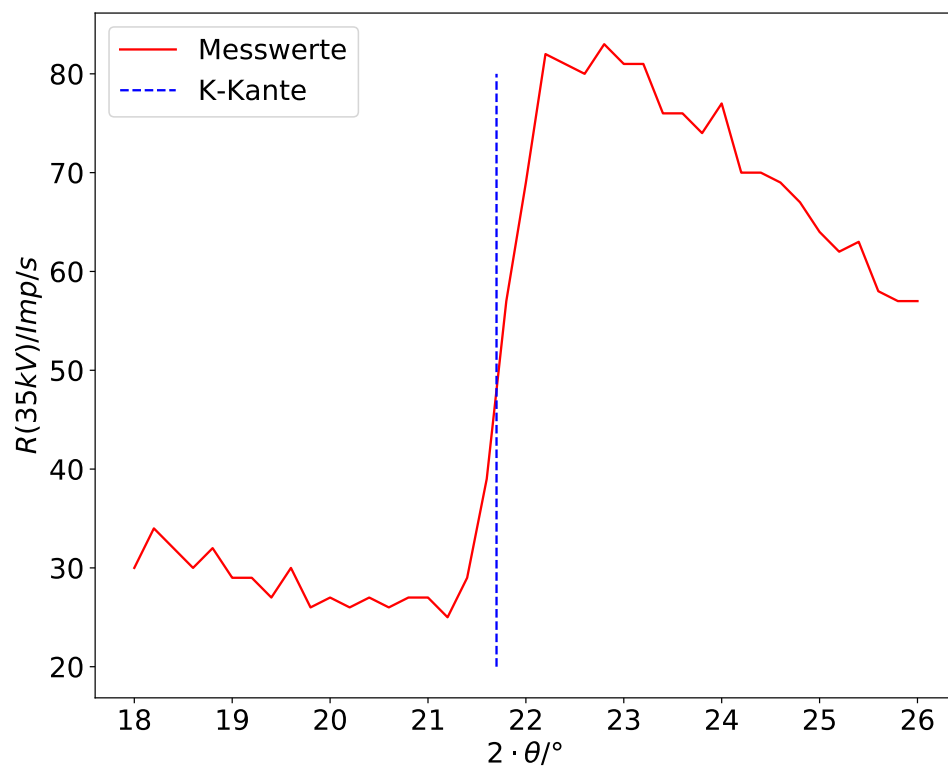


Abbildung 4: Absorptionsspektrum von Strontium

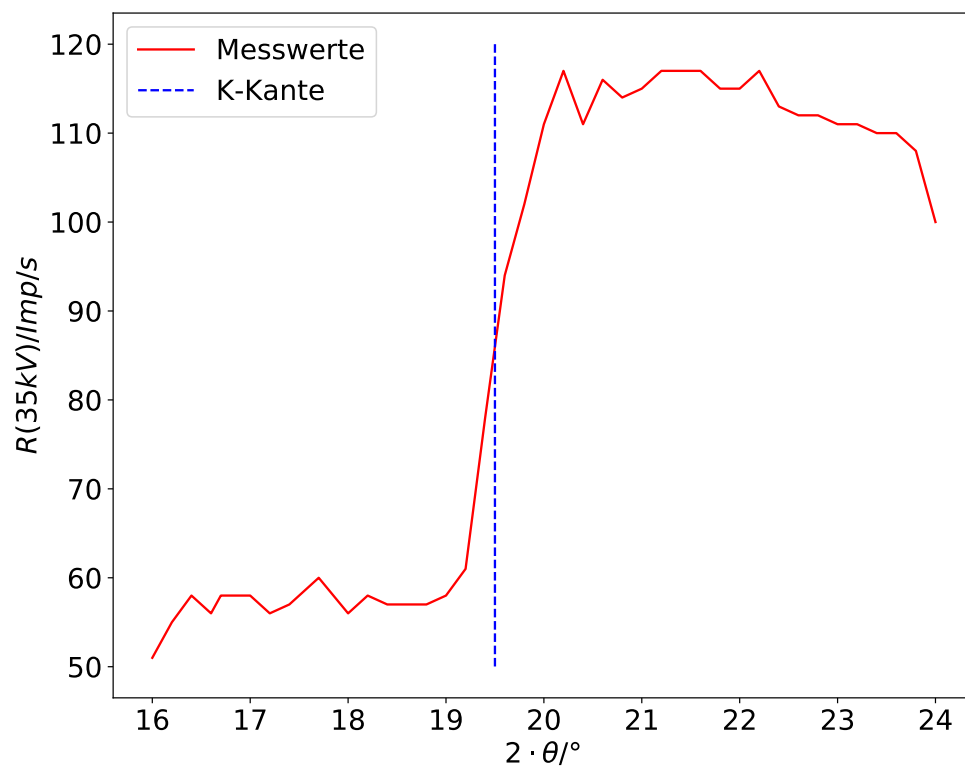


Abbildung 5: Absorptionsspektrum von Zirkonium

verwendet. Somit ergibt sich

$$\sigma_K = Z - \sqrt{\frac{E}{R_\infty}}$$

mit $Z_{Br} = 35$, $Z_{Sr} = 38$ und $Z_{Zr} = 40$ ($[Z]$) ergeben sich die Abschirmkonstanten zu

$$\sigma_{K_{Br}} = 3,340 \quad (7)$$

$$\sigma_{K_{Sr}} = 3,325 \quad (8)$$

$$\sigma_{K_{Zr}} = 3,899 \quad (9)$$

Im folgenden Wird \sqrt{E} gegen Z aufgetragen. Außerdem wird eine lineare Regression mit

$$\sqrt{E} = a \cdot Z + b$$

durchgeführt. Die bestimmten Parameter lauten

$$a = (1,32 \pm 0,12) \cdot 10^{-9} \sqrt{\text{J}}$$

$$b = (1 \pm 4) \cdot 10^{-9} \sqrt{\text{J}}$$

Aufgrund der Formel (??) ergibt sich die Rydbergkonstante zu

$$R_\infty = a^2 = (10,875 \pm 1,977) \text{ eV}$$

Der Fehler berechnet sich mit

$$\Delta_{R_\infty} = 2m \cdot \Delta m$$

$$\theta_{L2} = 12,7^\circ$$

$$\theta_{L3} = 14,7^\circ$$

Daraus ergeben sich mit den Formeln (??) und (??) die Energien und die Energiedifferenz

$$E_{\theta_{L2}} = 14,00 \text{ keV}$$

$$E_{\theta_{L3}} = 12,13 \text{ keV}$$

$$\Delta E = 1,87 \text{ keV}$$

Mit Formel (??) ergibt sich nun die Abschirmkonstante σ_L

$$\sigma_L = 4,074$$

Die Ordnungszahl von Quecksilber beträgt $Z = 80$.

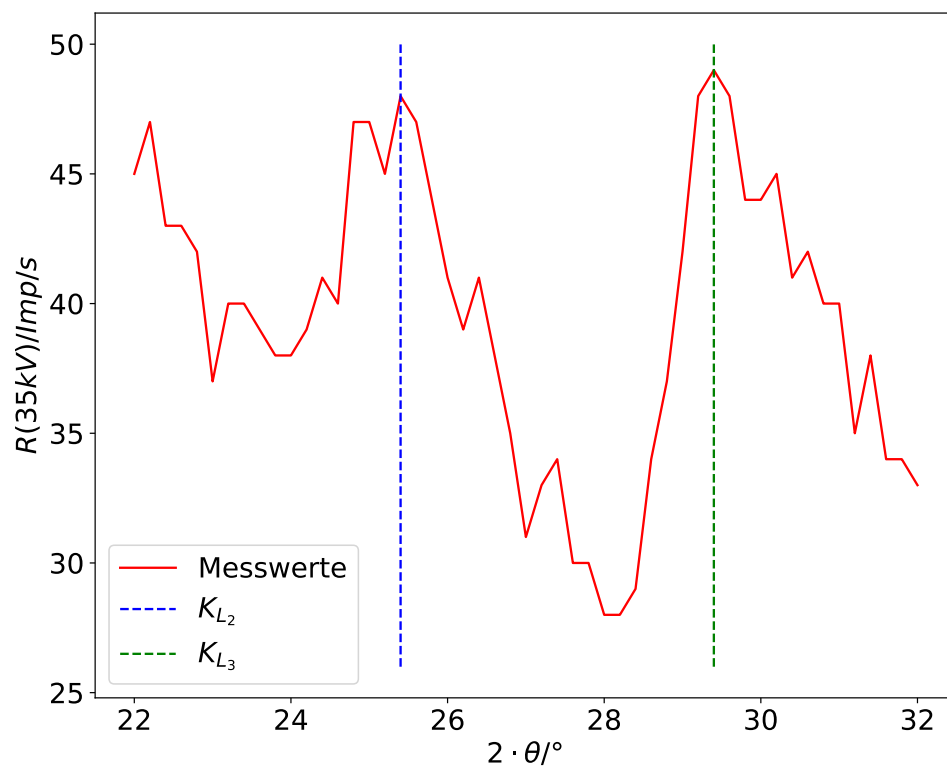


Abbildung 6: Absorptionsspektrum von Quecksilber